

# Improvement of Sn-Pb Solder by addition Ag Element

Hanadi Abbas Hassan

*Faculty of Materials Engineering, University of Babylon, Babylon, Iraq*

[Tree\\_ice99@yahoo.com](mailto:Tree_ice99@yahoo.com)

Nabil Latif Al-Saffar

Haidar Abdul Hassan Al – Jubouri

*Faculty of Materials Engineering, University of Babylon, Babylon, Iraq*

[Drhayderalgibibory@yahoo.com](mailto:Drhayderalgibibory@yahoo.com)

Submission date:- 30/1/2018	Acceptance date:- 22/4/2018	Publication date:- 6/8/2018
-----------------------------	-----------------------------	-----------------------------

## Abstract

This research is devoted to study the soldering of Sn-Pb alloy on different part (copper, low carbon steel, brass). The Sn-Pb alloy produced in different percentage of Pb and addition of Ag by casting, and show the effect on electrochemical, mechanical and electrical properties. The mechanical and physical properties includes microstructure, tensile, electrical conductivity and electrochemical have been achieved for this research through tests that include microstructure test, tensile test, tafel Potentiostatic, electrical conductivity test, X-Ray Fluorescent Analysis (XRF).

From results obtained in this study, a higher tensile strength was found for (Sn97%+Pb1.5%+Ag1.5%) when its compared with other alloy, and the best result in soldering was with carbon steel because it has higher strength compared with brass and copper. The electrical conductivity result showed that the alloy (Sn97%+Pb1.5%+Ag1.5%) has higher electrical conductivity.

**Keyword:** - Microstructure test, Electrical conductivity, Tensile test, X-Ray Fluorescents Analysis (XRF).

## تحسين بعض الخواص الميكانيكية لسبائك لحام القصدير

هناي عباس حسن

كلية هندسة المواد، جامعة بابل، بابل، العراق

[Tree\\_ice99@yahoo.com](mailto:Tree_ice99@yahoo.com)

حيدر عبد الحسن الجبوري

نبيل لطيف الصفار

كلية هندسة المواد، جامعة بابل، بابل، العراق

[Drhayderalgibibory@yahoo.com](mailto:Drhayderalgibibory@yahoo.com)

### الخلاصة

هذا البحث يختص بدراسة لحام سبائك قصدير رصاص على أجزاء مختلفة من الفولاذ واطئ الكاربون، سبيكة البراس و النحاس. اذ يتم دراسة الخواص الميكانيكية والكهربائية وكذلك الخواص الكهربائية للسبائك الناتجة من عملية الصب وبعد لحامها على الأجزاء المختلفة. وقد تم تحقيق أهداف هذا البحث من خلال الاختبارات التي شملت اختبار البنية المجهرية، اختبار الشد، اختبار تالف (فحص تيار ومقاومة التآكل)، اختبار التوصيلية الكهربائية. ومن النتائج التي تم الحصول عليها حيث كانت مقاومة الشد أعلى ما يمكن لسبائك (97%Sn+1.5%Pb+1.5%Ag) عند مقارنتها مع السبائك أخرى وكانت أفضل نتيجة لحام على قطعة الفولاذ واطئ الكاربون عند مقارنتها مع مقاومة الشد للملحومات الأخرى على سبيكة البراس او النحاس ونتائج التوصيل الكهربائي أيضاً أظهرت سبيكة (97%Sn + 1.5%Pb + 1.5%Ag) أعلى توصيلية كهربائية، وذلك بسبب تأثير إضافة الفضة على سبيكة قصدير رصاص. وكانت السبيكة (60%Sn-40%Pb) أفضل ما يمكن عند اجراء فحص مقاومة التآكل وقد أجري الفحص في ماء البحر (sea water).

**الكلمات المفتاحية:** - اختبار البنية المجهرية، اختبار تالف، فحص الشد، الموصيلية الكهربائية.

### المقدمة Introduction

بعد لحام القصدير "soldering" نظرية مهمة للربط في المركبات الإلكترونية. وينثر بالخواص الميكانيكية مثل الشد (tensile) ومقاومة القص (shear strength) والالتواء (fatigue). [1]. يستعمل لحام القصدير "soldering" في عمليات الربط البدائي بين الرقائق (chip) والحرمة (package) أو بين الحرمة (package) والدائرة الكهربائية (circuit board) ورمزها (PCB)، كذلك يزيد الربط الميكانيكي الحراري (package) بين المركبات واللوحة الكهربائية المزودة (printed circuit board). [2][3] وفي الدراسات الحديثة هناك مسائل عميقة ونقاشات دقيقة حول استعمال لحام الصوادر بالرصاص الحر. (a lead-free solder) [4]. لا يعتبر لحام الكهرباء هو لحام من أجل الربط فقط وإنما يزيد من الميكانيكية والربط الحراري بين المركبات واللوحة المزودة بالكهرباء وهذه مهمة لاختيار اللحام المناسب من أجل معرفة الانصهار وخصائص الليونة والخواص الميكانيكية والتكلفة ويعتبر لحام القصدير - رصاص لحام شائع الاستعمال في سبائك التي تلحم الأجهزة

الإلكترونية والتي تمتاز بانخفاض درجة حرارة اللحام فيها قد تصل إلى (183 °C). [4]. يستعمل لحام الرصاص عندما تكون درجة الليونة منخفضة نسبياً إذ يكون متواافق في لحام اللوحة الكهربائية (PCB) وهناك حقيقة معروفة أن الرصاص مادة سامة وتأثير على البشر وعلى صحة الكائنات الحية الأخرى. [5]. ومن أجل تحسين خواص سبائك (القصدير-الرصاص) ثم إضافة بعض العناصر لتحسين الخواص ومن هذه العناصر هو الحديد (Fe) والنحاس (Cu) والنikel (Ni) والفضة (Ag). [6]. عند إضافة النikel إلى سبيكة القصدير- رصاص ي العمل على تحسين الخواص الميكانيكية خصوصاً مقاومه الأكسدة (Oxidation resistance) فضلاً عن ذلك أنه يعمل على تحسين خواص الليونة للسبائك و يجعل من منطقة اللحام (Soldered joint) قوية و مقاومة للظروف.

[7]

يبين الجدول التالي الخواص لبعض سبائك القصدير - رصاص. [8]

Solder (wt. %)	Tm (°C)	Advantages	Disadvantages
37Pb-63Sn	183	overall good properties	structural coarsening; prone to creep
58Bi-42Sn	139	good fluidity	strain rate sensitivity; poor wetting
96.5Sn-3.5Ag	221	good strength, creep resistance	melting point slightly too high
49Sn-51In	120	good wetting	melting point too low; poor ductility; expensive
91Sn-9Zn	199	good strength	poor corrosion resistance and wetting
95Sn-5Sb	245	creep resistant	melting point too high
80Au-20Sn	278	creep resistant, corrosion resistant	hard and brittle; melting point too high; expensive

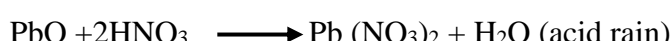
الجدول رقم (1)

اللحام الحر بالرصاص في الحقيقة يعد مسألة حرجة والدراسات الحديثة كونها تشير إلى أن معدن الرصاص عالي السمية حيث أنه يشكل خطراً كبيراً عند استنشاقه [9]

والجدول التالي يمثل مدى ذوبانية مركبات الرصاص في الماء [9]

Pb compounds	Solubility in water ( g\l ) Temperature (° C )		
	10.0	20.0	30.0
PbSO <sub>4</sub>	0.035	0.041	-
Pb(NO <sub>3</sub> ) <sub>2</sub>	485.0	565.0	1150.0
PbCl	6.7	9.9	26.2

جدول رقم (2)



**القصدير Sn:** قدرة عنصر القصدير على الانتشار والليونة واسعة المدى ويستعمل معه مساعدات للصهر ويصبح المكون الرئيس في كثير من سبائك اللحام المستعملة في التطبيقات الالكترونية (Electronic applications) ، درجة حرارة انصهار القصدير هي ( $231^{\circ}\text{C}$ ) ويوجد بشكليين مختلفين من حيث التركيب البلوري في الحالة الصلبة وهي الأبيض او ما يدعى ( $\beta\text{-tin}$ ) والذى يكون التركيب البلوري مكعب متتركز بالبلاوره (body centered tetragonal crystal structure) . ويكون هذا النوع مستقر في درجة حرارة الغرفة. أما النوع الثاني فيكون لونه رمادي او يدعى ( $\alpha\text{-tin}$ ) ويكون التركيب البلوري له مكعب متتركز بالوجه (cubic crystal structure). الديناميكية الحرارية تكون مستقرة تحت درجة ( $13^{\circ}\text{C}$ ). التحول من ( $\alpha\text{-tin}$ ) الى ( $\beta\text{-tin}$ ) يشار اليه بالقصدير الضار (tin pest) ويحدث عندما درجة الحرارة تتحفظ أسفل ( $13^{\circ}\text{C}$ ). وتكون المحصلة زيادة كبيرة بالحجم وبذلك يحدث تشقق في التركيب [10]. (structure)

التمدد الحراري في القصدير يكون بسبب التباين (isotropic) عندما يتعرض القصدير الى التدوير الحراري المتكرر سوف يتعرض الى التشوه اللدن وتحدث تشغقات في الحدود البلورية وهذا التدوير الحراري يحدث او يلاحظ في الدورات الحرارية على نطاق يكون صغير ضمن ( $30-75^{\circ}\text{C}$ ) الالتواز الحراري (thermal fatigue) يحدث في لحام القصدير او في اللحام الذي يكون مشبع بالقصدير حتى عندما يكون هناك انفعال ميكانيكي (mechanical strain) [11].

### \* وظيفية عناصر السبك

تقدم العناصر المختلفة دور مختلف في لحام السبائك. [12]

- الانتيمون (Sb) بإضافته تزداد المقاومة دون التأثير على الليونة. ويجب تجنب اضافته على الزنك او الكادميوم والمعادن المطبلية، لأن اللحام الناتج يكون هش.
- البزموت (Bi) عند اضافته يقلل درجة الانصهار (melting point). يحسن الليونة (wetting). السبائك التي تكون حاوية على البزموت بأعلى من (47%) فأنها تعانى من تمدد اثناء التبريد وعليه يمكن ان يستعمل في حالة عدم تطابق التمدد الحراري. البزموت يقلل من نمو القصدير ولكن سعره مرتفع ويكون محدود الاتجاه.
- النحاس (Cu) يخفض النحاس نقطة الانصهار (melting point) ويحسن مقاومه الدورات الحرارية للالتواز (resistance to thermal cyclic fatigue)، وكذلك يحسن خواص الليونة (molten solder) في المعدن المنصهر (wetting properties) كذلك يعمل النحاس على التقليل من نشاط القصدير بنسبة قليلة.
- الفضة (Ag) تعزز الفضة المقاومة الميكانيكية لكن نقل من المطبلية للرصاص. وفي حالة غياب الرصاص تحسن مقاومة الالتواز في الدورات الحرارية.

## الجزء العملي Work Experimental

تم اختيار ثلاثة مواد وهي (القصدير Sn والرصاص Pb والفضة Ag) والسبائك المراد دراسة تحسين خواصها هي سبيكة (60%Sn-40%Pb). وغيرت نسب السبيكة فأصبح لدينا سبيكة ثانية (85% Sn - 15% Pb) وبعد ذلك تم إضافة عنصر الفضة (97% Sn-1.5% Ag - 1.5% Pb) وظهرت لدينا سبيكة ثالثة.

### **Chemical compositions of the solder material (all in wt. %)**

Sample	Composition	Sn	Ag	Pb
A	Sn-pb	60	-	40
B	Sn-pb	85	-	15
C	Sn-Ag-pb	97	1.5	1.5

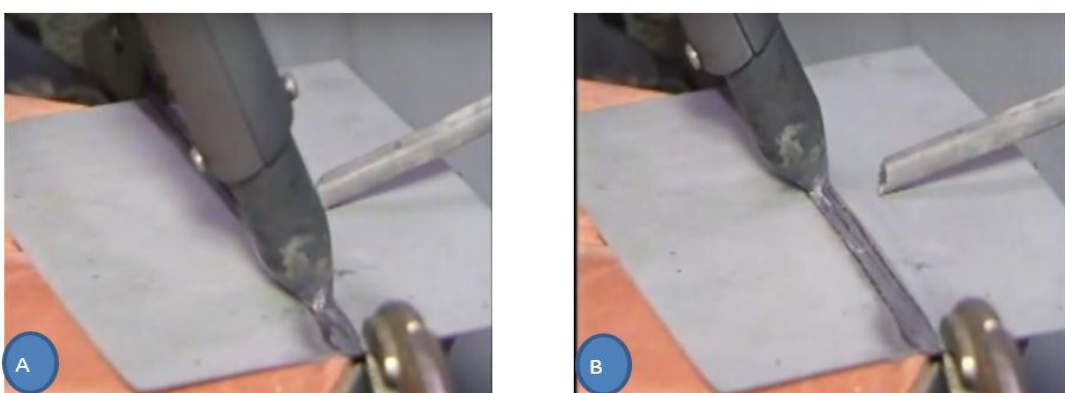
تم تحضير السبائك في مختبر الهندسة في كلية هندسة المواد / جامعة بابل إذ تم تسخين المواد داخل بودقة الصهر وبعد ذلك خلطها بالمكسر وهي ذراع طويلة مصنوعة من السيراميك تستعمل في الخلط وذلك لمجانسة المواد عند صهرها داخل الفرن بعد ذلك تم سبك السبائك بال قالب وبعد انجماد السبيكة تم اخذ النماذج ودرفلتها للحصول على السبائك المطلوبة والتي استعملت كمادة لحام لربط وصلات متكونة من ثلاثة أنواع وهي (النحاس والفولاذ منخفض الكربون والبراجن).





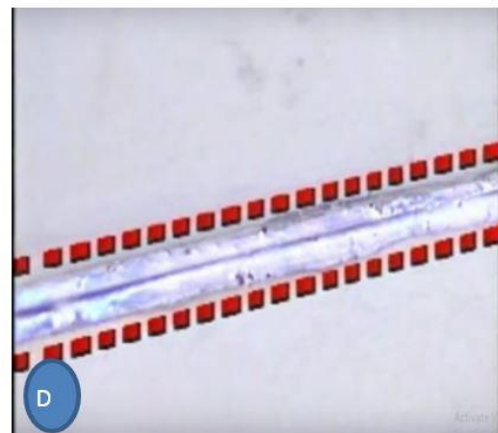
شكل يوضح مرحل تحضير السبايك ودرفلتها بجهاز الدرفلة على البارد

**طريقة اللحام The method of welding** تم تحضير حافتي الصفيحتين المراد لحامهما وتنظيفها جيدا، استعمال عند اللحام وصلة تقابلية والمسافة (1mm) تثبيت القطعتين بالماسكات وذلك لضمان دقة الابعاد بعد ذلك استعمال الكاوية الظاهرة بالصورة، يجب التأكد من نظافة رأس الكاوية من المواد الملحومة فيها سابقا لضمان التقليل من نسبة الشوائب ونبدأ بالحام من الأعلى الى الأسفل كما موضح بالصور ونستخدم السبايك التي تم تحضيرها في عملية اللحام :



A  
ثبيت القطعتين بالماسكات

B  
البدء بعملية اللحام



المراحل النهائية لعملية اللحام

[ درزة اللحام النهائية ]

خطوات عملية اللحام

### الموصليات الكهربائية Electrical Conductivity

$$\sigma v = \frac{1}{\rho v} = \frac{L}{R * A}$$

Where

Volumetric conductivity ( $\text{Ohm.Cm}^{-1}$ )

التوصيل الحجمي  $\sigma v$

Volumetric resistivity

المقاومة الحجمية  $Pv$

thickness (cm)

السمك  $L$

area of the specimen

مساحة العينة  $A$

Volumetric resistance (Ohm)

نصف القطر  $R$

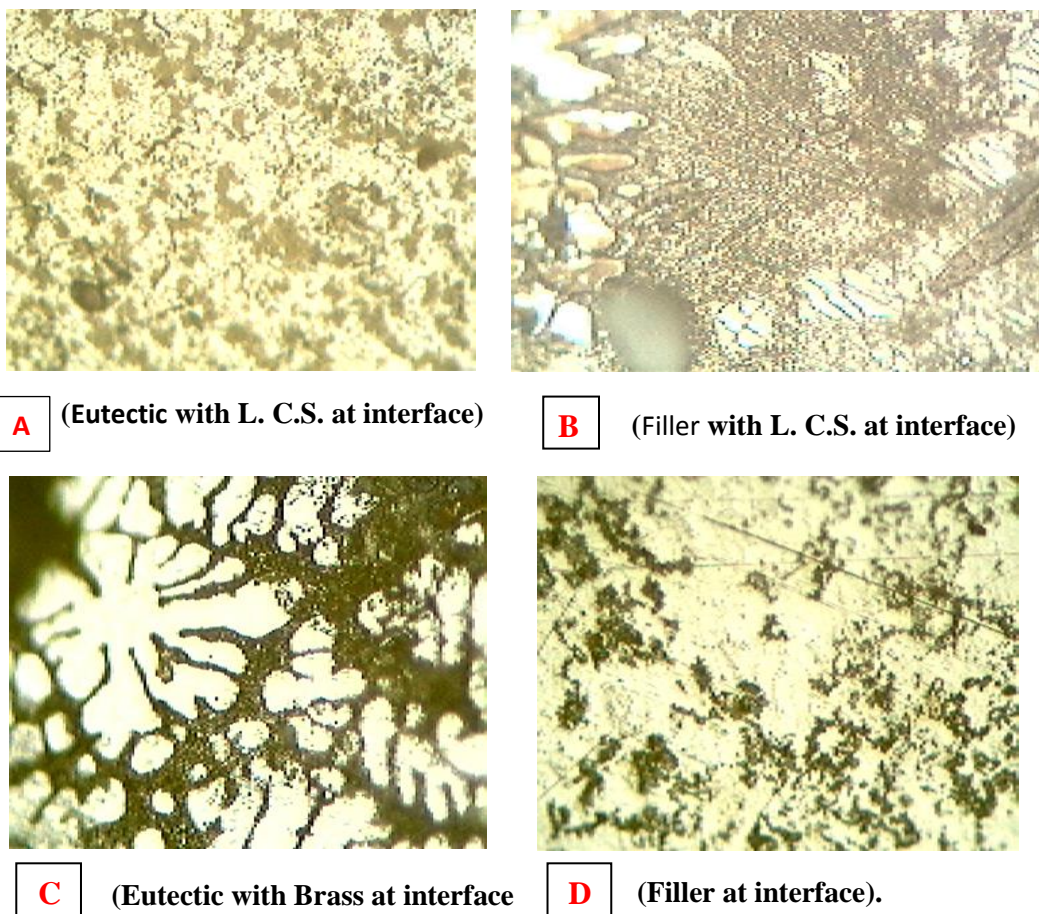
### نتائج التحليل الكيميائي Chemical composition analysis

Packaging sections using a X-Ray Fluorescence Analysis (XRF).

Sample	Pb	Sn	Ag
A	47.73	51.95	-
B	0.21	95.45	1.28
C	15.17	83.68	-

الجدول التالي يمثل التحليل الكيميائي للسيبكة وكميات المواد المستخدمة في إنتاج السيبكة.

- البنية المجهرية -



optical microstructure for sample soldering (400X), a( Eutectic with L. C.S. at interface), b(Filler with L. C.S. at interface), c( Eutectic with Brass at interface), d( Filler at interface).

#### 4.1 Mechanical Properties (tensile strength) مقاومة الشد

Sam ples	Description	Tensile Test (MPa)	Average
1	Sn60%+Pb40% (Brass)	155.63	155.27
		157.86	
		152.33	
2	Sn60%+Pb40% (Cu)	188.77	187.78
		189.65	
		184.93	
3	Sn60%+Pb40% (L.C.S.)	197.64	201.04
		201.84	
		203.66	
4	Sn97%+Pb1.5%+Ag1.5% (Brass)	203.03	203.85
		207.65	
		200.88	
5	Sn97%+Pb1.5%+Ag1.5% (Cu)	229.58	229.85
		231.74	

		228.23	
6	Sn97%+Pb1.5%+Ag1.5% (L.C.S.)	245.80	248.97
		251.73	
		249.39	
		102.34	
7	Sn85%+Pb15% (Brass)	105.87	106.55
		111.44	
		114.79	
8	Sn85%+Pb15% (Cu)	119.04	119.38
		124.33	
		132.75	
9	Sn85%+Pb15% (C.S.)	138.93	138.10
		142.63	

جدول رقم (4)

• نلاحظ من خلال نتائج الفحص المختبري لمقاومة الشد للعينات، ان اعلى مقاومة شد ظهرت في العينة المكونة من (Sn97%+Pb1.5%+Ag1.5%) والملحومة على قطعة الحديد المنخفض الكاربون (L.C.S) وذلك بسبب إضافة عنصر الفضة الذي يزيد من صلابة منطقة اللحام.

### الموصليّة الحراريّة Electrical Conductivity

sample	Description	$\rho_v$ (ohm)	$\sigma_v$ (Ohm.Cm) $^{-1}$
A	Sn60%+Pb40%	2861.56	0.000349
B	Sn97%+Pb1.5%+Ag1.5%	1524.91	0.000655
C	Sn85%+Pb15%	2127.34	0.000470

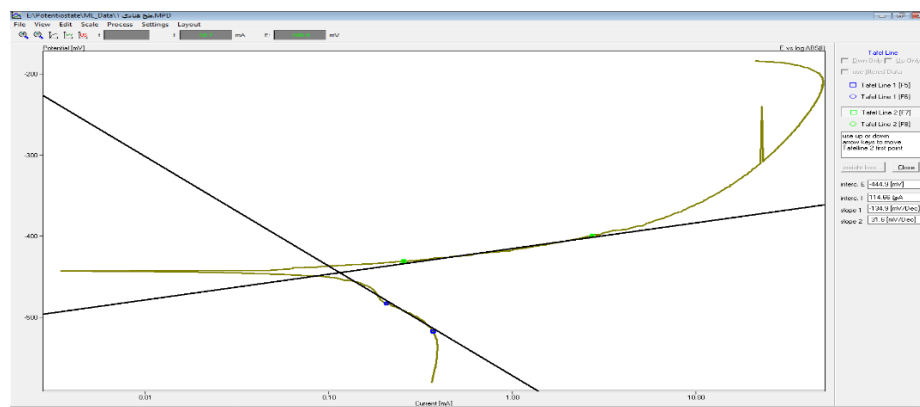
نلاحظ ان اعلى قيمة للموصليّة الحراريّة كانت للسبائك (B) وذلك بسبب إضافة كمية معينة من عنصر الفضة الى السبيكة مما أدى الى زيادة موصليّة السبيكة. بسبب قابلية عنصر الفضة العالية على التوصيل.

### اختبار التآكل (تافل) Corrosion test (Polarization tests)

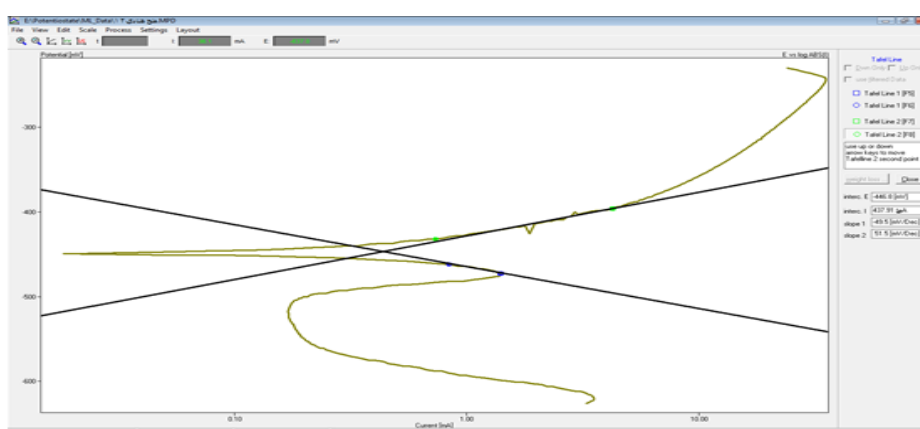
Illustrates corrosion parameters (E corr., I corr.) in sea solution.

sample	Description	I corr ( $\mu A$ )	E corr (mV)
A	Sn60%+Pb40%	1.12	-269
B	Sn97%+Pb1.5%+Ag1.5%	1.14	-444.9
C	Sn85%+Pb15%	4.27	-446.8

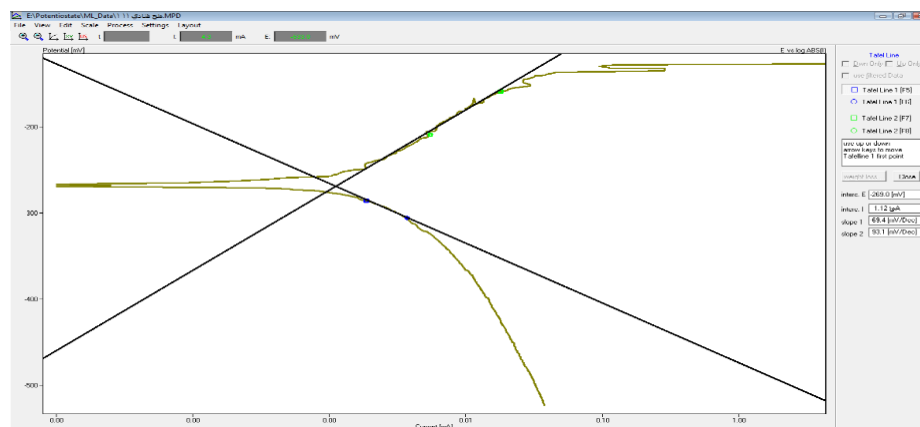
### Potentiostatic Polarization curve of sample (A) in seawater. Fig (1)



### Potentiostatic Polarization curve of sample (B) in sea water fig (2)



### Potentiostatic Polarization curve of sample(C) in sea water fig (3)



- تزداد مقاومة التآكل كلما قلت فعالية عنصر القصدير (Sn). ونلاحظ ان اعلى مقاومة للتآكل ظهرت في السبيكة (C).

### الاستنتاجات Conclusion:

- إضافة عنصر الفضة (Ag) إلى سبيكة (Sn-Pp) يحسن مقاومة الشد.
- مقاومة الشد في لحام الصودار على صفيحة الحديد واطئ الكarbon اعلى قيمة من اللحام على صفيحة البراس والنحاس.
- إضافة عنصر الفضة (Ag) إلى سبيكة (Sn-Pp) يزيد من التوصيلية الحرارية.
- التحليل الكيميائي يظهر ان نسبة الرصاص (Pp) تخضع من مقاومة التأكل.

### Reference

- [1] M. Abtew and G. Selvaduray, ‘Lead-free Solders in Microelectronics’, Mater. Sci. and Eng. Vol.27, pp.95-141, 2000.
- [2] M. N. Islam ‘Study on Interfacial Reactions in Ball-grid-array (BGA) Solder Joints for Advanced Integrated Circuit (IC) Packaging’, Ph.D. Thesis, City University intermetallic compound and its effect on shear strength of LCCC SMT solder joints’ Mat. of Hong Kong, Hong Kong, 2005.
- [3] Y. C. Chan, A. C. K. So, and J. K. L. Lai ‘Growth Kinetics studies of Cu- Sn Sci. Eng. B, Vol.55, pp 5-13, 1998.
- [4] D.N. Binh, ‘Investigations on the Properties of Sn-8Zn-3Bi Lead-free and Sn-37Pb Eutectic Solder Alloys’, Thesis of Master of Science, School of Materials and Mineral Resources Engineering, 2005.
- [5] For Various Tool Geometries during the Friction Stir Spot Welding Process’, J. Electron. Mater. Vol. 28 No.11, pp. 1209–1215, 1999.
- [6] S. Choi, F. Guo, J.P. Lucas and K.N. Subramanian, ‘A Review: Influence of nanoparticles reinforced on Solder Alloy, Sold’. Surf. Mount Technol. Vol.13 No.1, pp. 7– 18.
- [7] S. Choi, F. Guo, J. P. Lucas and K. N. Subramanian, ‘A Review: Influence of nanoparticles reinforced on Solder Alloy, Sold’. Surf. Mount Technol. Vol.13 No.1, pp. 7– 18.
- [8] A. A. El-Delay, Y. Swilema, M. H. Makledb, M. G. El-Shaarawyb and A. M. Abd Rabohb ‘Thermal and mechanical properties of Sn–Zn–Bi lead-free solder alloys’, Journal of Alloys and Compounds, Vol. 484, , pp. 134–142, 1990.
- [9] ASM International, Electronic Material Handbook, 1 Materials Park, OH, 1989.
- [10] ASM International, Electronic Material Handbook, 1, Materials Park, OH, 1989.
- [11] K. L. Lin, L. H. Wen and T. P. Liu, ‘Microstructure changes in Sn-3.5Ag solder alloy during creep’, Journal of Electronic Materials, Vol. 27, p. 97, 2004.
- [12] M. Mc Cormack, S. Jin, H.S. Chen and D.A. Machusak, ‘The Observation and Simulation of Sn-Ag-Cu solder solification in chip-scale packaging’, Journal of Electronic Materials.Vol. 23, p.687, 1994.